

ведены на фиг. 2 (сплошные кривые 3, 4). Для сопоставления эксперимента с теорией на эти кривые нанесены экспериментальные точки, причем, точки, соответствующие величинам a/v кривых 3 и 4, получены умножением на частоту величин a/v^2 , снятых с кривых 1 и 2 при соответствующих частотах.

Точки достаточно хорошо укладываются на расчетные кривые.

ЛИТЕРАТУРА

- П. А. Бажулин. Затухание ультраакустических волн в уксусной кислоте. ДАН СССР, 1936, 3, 6, 283—286.
- В. Ф. Ноздрев. Применение ультраакустики в молекулярной физике. М., Физматгиз, 1958.
- Б. Б. Кудрявцев. Применение ультраакустических методов в практике физико-химических исследований. М., ГГТИ, 1952.
- И. Г. Михайлов, В. А. Соловьев, Ю. П. Сырников. Основы молекулярной акустики. М., «Наука», 1964.

Полтавский государственный педагогический институт им. В. Г. Короленко

Поступило в редакцию
19 июля 1968 г.

УДК 534.28

КНЕЗЕРОВСКОЕ ПОГЛОЩЕНИЕ В СМЕСЯХ БРОМБЕНЗОЛА, ХЛОРБЕНЗОЛА, ЦИКЛОГЕКСАНА В БЕНЗОЛЕ И ХЛОРБЕНЗОЛА В БРОМБЕНЗОЛЕ

В. Илгунас, К. Паулаускас, А. Тамашаускас

В перечисленных смесях проведены комплексные исследования скорости c и поглощения a ультразвука, плотности ρ и сдвиговой вязкости η . Измерения проводились методом ультразвукового интерферометра, позволяющим одновременно достаточно точно измерять скорость распространения и коэффициент поглощения ультразвуковых волн [1, 2]. В расчетах поглощения введены поправки на дифракцию. С целью уменьшения влияния дифракционных эффектов на точность измерения аку-

Таблица 1

Жидкость	n^{20}_D	ρ^{20} , $\text{г}/\text{см}^3$	c , $\text{м}/\text{сек}$	a/f^2		$10^{-17} \text{ см}^{-1}\text{сек}^2$	$10^{-11} \tau, \text{сек}$	C_{p_0}/R	Δ/R	C_i/R
				a/f^2	a'/f^2					
Бензол	1,5012	0,8791	1323,21	926	918	34,7	16,2	5,0	6,15	
Бромбензол ЧДА	1,5607	1,5139	1163,43	139	126	4,4	18,25	—	—	
» » Ч	1,5614	1,5032	1167,81	152	139	4,8	18,25	—	—	
Хлорбензол	1,5247	1,1078	1285,69	148	139	5,3	17,54	—	—	
Циклогексан	1,4267	0,7990	1278,80	195	180	6,9	18,76	—	—	

Таблица 2

Смесь	C_{iA}/C_{iB}	a	z	t	u
$C_6H_6 — C_6H_5Br$	0,782	0,186	7,89	6,63	0,20
$C_6H_6 — C_6H_5Cl$	0,855	0,179	6,55	4,30	0,70
$C_6H_6 — C_6H_{12}$	0,736	0,371	5,05	6,40	0,29
$C_6H_5Br — C_6H_5Cl$	1,094	0,014	0,91	1,01	1,00

тических параметров в интерферометре применена 3-я гармоника пьезокварца с основной частотой 2,7 $M\text{гц}$, т. е. измерения проводились на частоте 8,1 $M\text{гц}$ при температуре $20 \pm 0,01^\circ$. Величина погрешности коэффициента поглощения не превышала 3%, а величина статистически обоснованной погрешности скорости ультразвука — около 0,015% [1]. Концентрационные зависимости скорости, поглощения, плотности, сдвиговой вязкости представлены в виде фигур и таблиц в статье [3]. Эти экспериментальные результаты были использованы в расчетах при определении сверхстоксовского коэффициента поглощения.

В табл. 1 представлены основные параметры исследованных индивидуальных жидкостей, за исключением мольных теплоемкостей, которые для бензола заимство-

ваны из работы [4], для бромбензола и хлорбензола из работы [5] и для циклогексана из работы [6]. Для последних трех компонентов как неассоциированных органических жидкостей, согласно рекомендации работы [4], мы находили параметры $C_i \approx C_{p0} - 10R$ и $\Delta \approx 5R$. Если считать, что сверхстоксовское поглощение α' в исследованных индивидуальных жидкостях в основном обусловлено кнезеровским эффектом, то по нашим экспериментальным данным и по известным значениям мольных теплоемкостей, на основе общеизвестных формул (см. работу [7], стр. 369) можно вычислить времена колебательной релаксации τ (табл. 1). Бинарные смеси мы также будем считать кнезеровскими.

Теория такого поглощения в бинарных нормальных смесях, состоящих из компонентов A и B , разработана в работах [8, 9], где введены четыре вероятности: P_{AA} , P_{BB} , P_{AB} и P_{BA} переходов энергии из внутренних во внешние степени свободы при парных соударениях возбужденной молекулы (первый индекс) с невозбужденной (второй индекс). Концентрационная зависимость поглощения дается выражением

$$\frac{\alpha'}{f^2} = \frac{\alpha_B'}{f^2} (1 + ax_A) \times \\ \times \left[\frac{x_A z}{x_A + tx_B} \cdot \frac{C_{iA}}{C_{iB}} + \right. \\ \left. + \frac{x_B}{1 + x_B(u-1)} \right],$$

где x_A и x_B — мольные доли компонентов ($x_A + x_B = 1$), a — параметр, определяемый из уравнения

при условии $x_A = 1$, $t = \frac{P_{AB}}{P_{AA}}$, $u =$

$= \frac{P_{BA}}{P_{BB}}$ и C_{iA} , C_{iB} — колебательные

мольные теплоемкости компонентов. Параметр z определяется как отношение времен колебательной релаксации в чистых жидкостях, т. е. $z = P_{BB}/P_{AA} = \tau_{AA}/\tau_{BB}$, где τ_{AA} , τ_{BB} — времена релаксации соответствующих переходов. Параметры u и t подбираются такими, чтобы экспериментальные кнезеровские коэффициенты поглощения соответствовали расчетным.

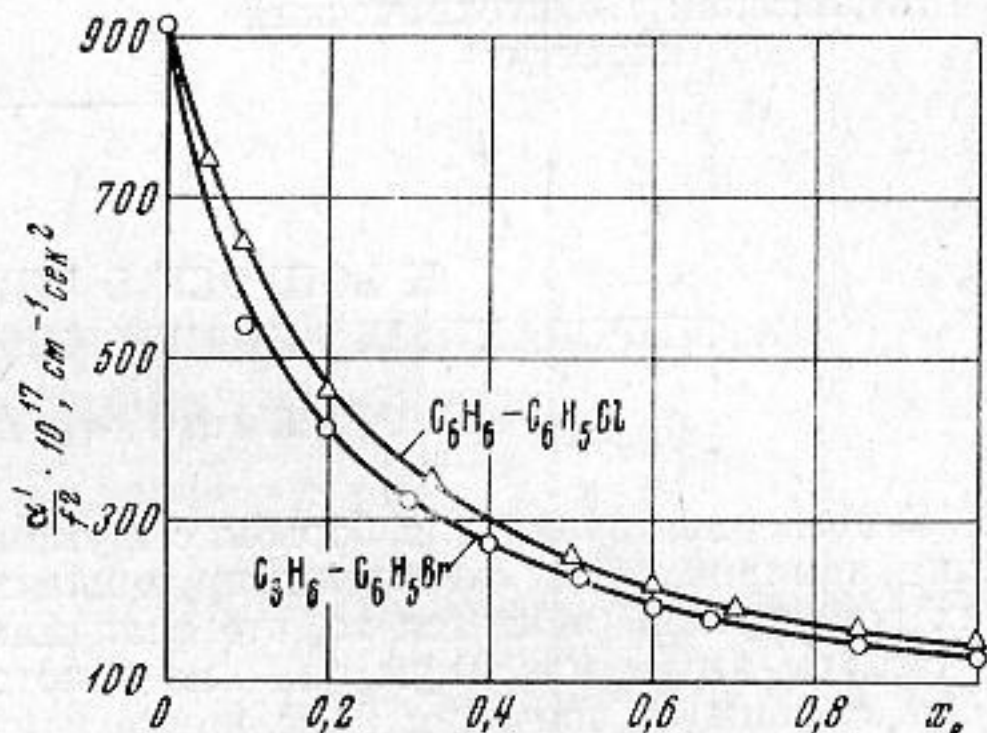
На фиг. 1 и 2 сплошными линиями изображены концентрационные зависимости кнезеровского поглощения, рассчитанного по формуле при надлежащем подборе параметров u и t . Точками отмечены экспериментальные значения α' .

Числовые значения соответствующих параметров представлены в табл. 2.

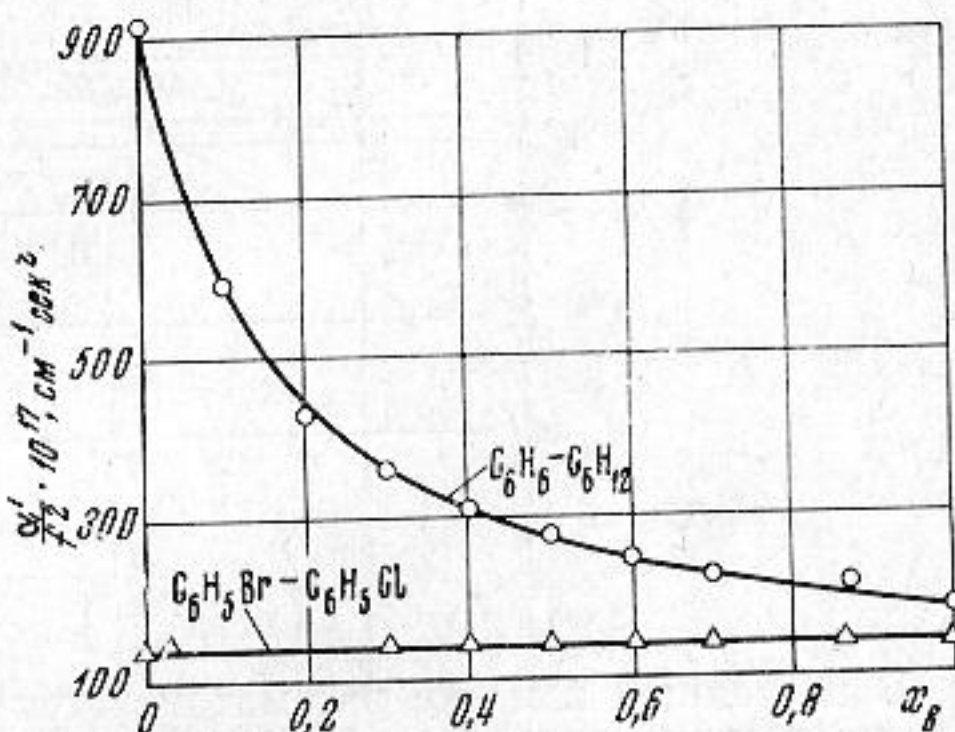
Из таблицы видно, что вероятности переходов для смеси $C_6H_5Br - C_6H_5Cl$ близки между собой, для остальных смесей вероятности P_{BB} и P_{AB} в несколько раз больше P_{AA} , а вероятности P_{BA} меньше P_{BB} . По-видимому, последнее объясняется тем, что соответствующие значения мольных теплоемкостей компонента B весьма приблизительны, а смесь циклогексана в бензole не является в строгом смысле нормальной смесью. Возможно также, что сверхстоксовское поглощение в компоненте B не является целиком кнезеровским.

ЛИТЕРАТУРА

1. В. Илгунас, К. Паулаускас, А. Тамашаускас. Статистический метод определения скорости и ее погрешности при измерениях ультразвуковым интерферометром. Вильнюс, «Минтис», 1969, 1, 175—181.
2. В. Илгунас, К. Паулаускас. Измерение поглощения ультразвука в жидкостях интерферометром. Акуст. ж., 1966, 12, 258—261.



Фиг. 1



Фиг. 2

3. А. Тамашаускас, К. Паулаускас, В. Илгунас. Исследование некоторых свойств нормальных бинарных жидкокристаллических смесей. *Ultragarsas*, 1969, 2, 33—55.
4. K. F. Herzfeld, T. A. Litovitz. *Absorption and dispersion of ultrasonic waves*. New York—London, 1959.
5. Н. Т. Вагнер. Теплоемкость химических соединений в жидкокристаллическом состоянии. Техническая энциклопедия, 1931, 1, 295—301.
6. Н. Б. Варгатик. Справочник по теплофизическим свойствам газов и жидкостей. М., Физматгиз, 1963.
7. И. Г. Михайлов, В. А. Соловьев, Ю. П. Сырников. Основы молекулярной акустики. М., «Наука», 1964.
8. E. Bauer. A theory of ultrasonic absorption in unassociated liquids. *Proc. Phys. Soc. (Lond.)*, 1949, A62, 141—154.
9. D. Sette. On the ultrasonic absorption in binary mixtures of unassociated liquids. *J. Chem. Phys.*, 1950, 18, 12, 1592—1594.

Каунасский Политехнический
институт

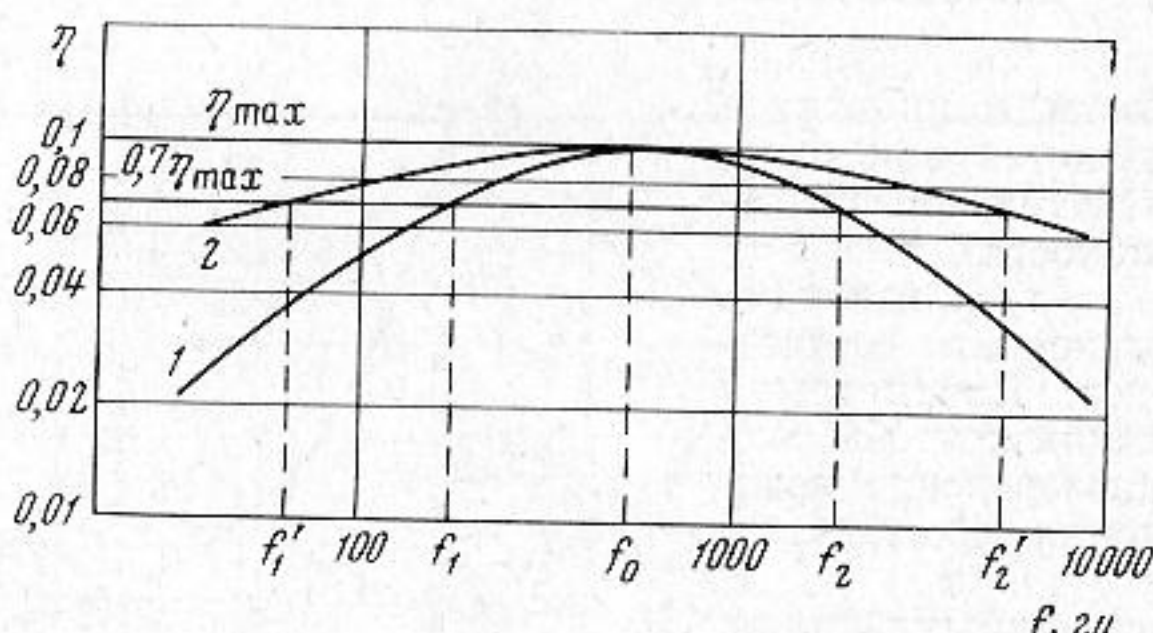
Поступило в редакцию
8 марта 1969 г.

К ВОПРОСУ О ШИРИНЕ ПОЛОСЫ АРМИРОВАННЫХ ВИБРОДЕМПФИРУЮЩИХ КОНСТРУКЦИЙ

B. I. Кашина, V. B. Тютекин

УДК 534.832

В последнее время для борьбы с шумами и вибрациями нашли широкое применение армированные вибродемпфирующие конструкции. Характерной особенностью этих конструкций является то, что величина коэффициента потерь η в зависимости от частоты имеет максимум η_{\max} на некоторой частоте f_0 . При изменении частоты в обе стороны от значения f_0 величина η уменьшается, но так, что ширина полосы частот N , при которых $\eta \geq 0.7\eta_{\max}$, составляет, как показывают теоретические и экспериментальные исследования, величину порядка 3,5 октав [1—3].



В настоящей заметке рассматривается один из путей увеличения этой ширины полосы, заключающийся в применении в армированных вибродемпфирующих конструкциях слоя вязко-упругого материала, модуль сдвига которого существенно возрастает с увеличением частоты.

Если зависимость модуля сдвига вязко-упругого материала (например, резины) от частоты f представить в виде $\mu := \mu_0(f/f_0)^\alpha$, где μ_0 — модуль сдвига на частоте f_0 , α — показатель степени, то количественную зависимость ширины полосы эффективности армированной вибродемпфирующей конструкции от величины α можно охарактеризовать таблицей, полученной нами на основании теоретических расчетов:

α	0	0,1	0,2	0,3	0,4	0,5	0,6	0,7	0,8	1
N (в октавах)	3,5	3,8	4,2	4,8	5,5	6,5	8,0	10,5	15,5	∞

Как видно, с увеличением величины α ширина полосы увеличивается.

Это иллюстрируется и фигурой, где представлены частотные характеристики коэффициента потерь η одной из армированных вибродемпфирующих конструкций. Кривая 1 соответствует значению $\alpha = 0$; в этом случае ширина полосы N определяется значениями частот f_1 и f_2 и составляет 3,5 октавы. Кривая 2 соответствует